



НЕКОТОРЫЕ ВОПРОСЫ ТЕОРИИ РЕЗИСТИВНОГО УСИЛИТЕЛЯ М-ТИПА

О. А. Кильдякова, А. А. Фунтов

Саратовский государственный университет им. Н.Г. Чернышевского

Представлены результаты исследования линейной теории двух моделей резистивного устройства М-типа.

Ключевые слова: Резистивный усилитель, М-тип, линейная теория.

Введение

В настоящее время одно из активно развиваемых направлений современной науки о колебаниях и волнах связано с исследованием особенностей взаимодействия электронных потоков с электромагнитными полями с акцентом на терагерцовый диапазон частот. В связи с этим начинается возвращение к некоторым забытым идеям, которые на фоне развития новых технологий могут быть воплощены в реальные приборы. К таким идеям относится возможность использования резистивного усилителя, на который сейчас вновь обратили внимание (на конгрессе IVEC-2015 был представлен доклад *Rowe T., Behdad N., Booske J. Metamaterial-Enhanced Resistive Wall Amplifiers*).

В СВЧ электронике резистивный усилитель О-типа был исследован в режиме слабого сигнала [1–3]. Преимущества этого прибора согласно [3]: отсутствие необходимости синхронизма между скоростью электронов и фазовой скоростью волны, высокие значения усиления, а также практически полное отсутствие обратной связи между выходом и входом, так как нет передачи энергии в направлении, противоположном движению пучка. Исследования резистивного усилителя М-типа, кроме краткого описания в обзоре [3], где указано, что в нём возможен малый уровень шума, не известны.

Постановка задачи

Рассмотрим следующую модель. Промодулированный бесконечно тонкий электронный поток магнетронного типа влетает в область, в которой ВЧ-поле отсутствует. Под этой областью будем понимать пространство между двумя плоскостями,

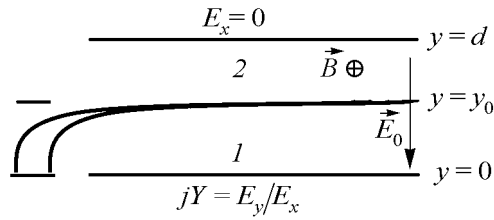


Рис. 1. Рассматриваемая модель

индуктивной $Y = 1/(j\omega L)$, емкостной $Y = j\omega C$ и резистивной ($\text{Im } Y = 0$) проводимостей.

На входе в область, где ВЧ-поля нет, пучок в общем случае имеет продольное \tilde{x} и поперечное \tilde{y} смещения. Волны, которые могут распространяться ниже и выше пучка (области 1 и 2 на рис. 1, соответственно), имеют вид $\bar{E} = \bar{E}(y) e^{j(\omega t - \beta x)}$, с составляющими

$$\begin{cases} E_{x1,2}(y) = a_{1,2} \text{sh } \beta y + b_{1,2} \text{ch } \beta y, \\ E_{y1,2}(y) = ja_{1,2} \text{ch } \beta y + jb_{1,2} \text{sh } \beta y. \end{cases}$$

Причем в 1-й области $y < y_0$ и $E_x/E_y|_{y=0} = 1/(jY)$, а во 2-й области $y > y_0$ и $E_x|_{y=d} = 0$.

Условия разрыва нормальной составляющей напряженности поля пространственного заряда имеют вид

$$\begin{cases} E_{y2} - E_{y1} = -\frac{\sigma_0}{\varepsilon_0} \frac{\partial \tilde{x}}{\partial x}, \\ E_{x2} - E_{x1} = -\frac{\sigma_0}{\varepsilon_0} \frac{\partial \tilde{y}}{\partial x}, \end{cases}$$

где σ_0 – поверхностная плотность заряда пучка, ε_0 – диэлектрическая постоянная.

Как и в [4], предположим, что

$$\begin{cases} E_{xПЗ} = \frac{E_{x1} + E_{x2}}{2}, \\ E_{yПЗ} = \frac{E_{y1} + E_{y2}}{2}. \end{cases}$$

Путем несложных преобразований получим

$$\begin{cases} E_{xПЗ} = \frac{\sigma_0}{\varepsilon_0} \left(-j \frac{(Y \text{th} [\beta y_0] + 1) \text{th} [\beta (d - y_0)]}{Y (\text{th} [\beta y_0] + \text{th} [\beta (d - y_0)]) + 1 + \text{th} [\beta y_0] \text{th} [\beta (d - y_0)]} \frac{\partial \tilde{x}}{\partial x} - \frac{g_y}{2} \frac{\partial \tilde{y}}{\partial x} \right), \\ E_{yПЗ} = \frac{\sigma_0}{\varepsilon_0} \left(\frac{g_y}{2} \frac{\partial \tilde{x}}{\partial x} + j \frac{Y + \text{th} [\beta y_0]}{Y (\text{th} [\beta y_0] + \text{th} [\beta (d - y_0)]) + 1 + \text{th} [\beta y_0] \text{th} [\beta (d - y_0)]} \frac{\partial \tilde{y}}{\partial x} \right), \end{cases} \quad (1)$$

где

$$g_y = \frac{Y (\text{th} [\beta (d - y_0)] - \text{th} [\beta y_0]) - 1 + \text{th} [\beta y_0] \text{th} [\beta (d - y_0)]}{Y (\text{th} [\beta y_0] + \text{th} [\beta (d - y_0)]) + 1 + \text{th} [\beta y_0] \text{th} [\beta (d - y_0)]}.$$

Нетрудно видеть, что, если нижняя плоскость будет металлической (то есть $Y \rightarrow \infty$), то параметр g_y , характеризующий положение пучка между электродами, примет вид

$$g_y = \frac{\text{th} [\beta (d - y_0)] - \text{th} [\beta y_0]}{\text{th} [\beta y_0] + \text{th} [\beta (d - y_0)]} = g, \quad (2)$$

как в [4].

причем нижняя (рис. 1) имеет проводимость

$$jY = \frac{E_y}{E_x}.$$

В общем случае проводимость может быть комплексной величиной. В данной работе рассматриваются случаи

Дисперсионное уравнение и исследование его корней

Из уравнений движения в адиабатическом приближении следует, что

$$\begin{cases} \frac{\partial \tilde{x}}{\partial t} + v_0 \frac{\partial \tilde{x}}{\partial x} = \frac{E_{y\Pi3}}{B}, \\ \frac{\partial \tilde{y}}{\partial t} + v_0 \frac{\partial \tilde{y}}{\partial x} = -\frac{E_{x\Pi3}}{B}, \end{cases} \quad (3)$$

где v_0 – средняя скорость пучка, а B – индукция магнитного поля.

Полагая все величины пропорциональными $e^{j(\omega t - \beta x)}$, подставим выражение (1) в систему уравнений (3). Дисперсионное уравнение при этом имеет вид

$$\left(\omega - \beta v_0 + g_y \frac{\Omega_{\text{пл}}^2}{\omega_c} \right)^2 = - \left(\frac{\Omega_{\text{пл}}^2}{\omega_c} \right)^2 MN, \quad (4)$$

где $MN = 4 \frac{(Y \operatorname{th} [\beta y_0] + 1) (Y + \operatorname{th} [\beta y_0]) \operatorname{th} [\beta (d - y_0)]}{(Y (\operatorname{th} [\beta y_0] + \operatorname{th} [\beta (d - y_0)]) + 1 + \operatorname{th} [\beta y_0] \operatorname{th} [\beta (d - y_0)])^2}$, $\frac{\Omega_{\text{пл}}^2}{\omega_c} = \frac{\sigma_0 \beta}{2\varepsilon_0 B}$.

Следуя [4], рассматриваем классический режим работы приборов М-типа, в котором $\beta \approx \beta_e = \omega/v_0$. Корни дисперсионного уравнения запишутся в виде

$$\beta_{1,2} = \beta_e \left(1 + \frac{\Omega_{\text{пл}}^2}{\omega_c \omega} \left(g_y \pm j\sqrt{MN} \right) \right). \quad (5)$$

При $Y \rightarrow \infty$ $g_y = g$ (согласно (2)) и

$$MN = 4 \frac{\operatorname{th} [\beta y_0] \operatorname{th} [\beta (d - y_0)]}{(\operatorname{th} [\beta y_0] + \operatorname{th} [\beta (d - y_0)])^2},$$

а уравнение (4) переходит в уравнение (V.83) работы [4]

$$(\omega - \beta v_0)^2 + 2g \frac{\Omega_{\text{пл}}^2}{\omega_c} (\omega - \beta v_0) + \left(\frac{\Omega_{\text{пл}}^2}{\omega_c} \right)^2 = 0.$$

Исследуем корни дисперсионного уравнения (4). Рассмотрим сначала случай резистивной проводимости ($\operatorname{Im}[Y] = 0$). Из рис. 2, а видно, что MN асимпто-

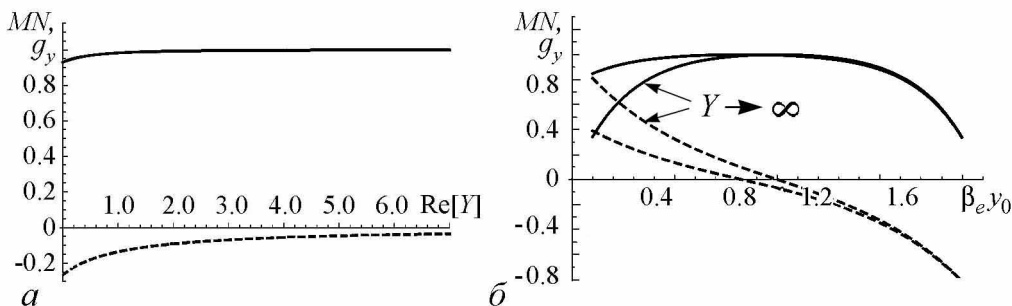


Рис. 2. Зависимость MN (сплошные) и g_y (пунктир) от $\operatorname{Re}[Y]$ (а) при $\beta_e d = 2\beta_e y_0 = 2.0$ и от $\beta_e y_0$ (б) при $\beta_e d = 2.0$, $\operatorname{Re}[Y] = 3.0$ и $Y \rightarrow \infty$

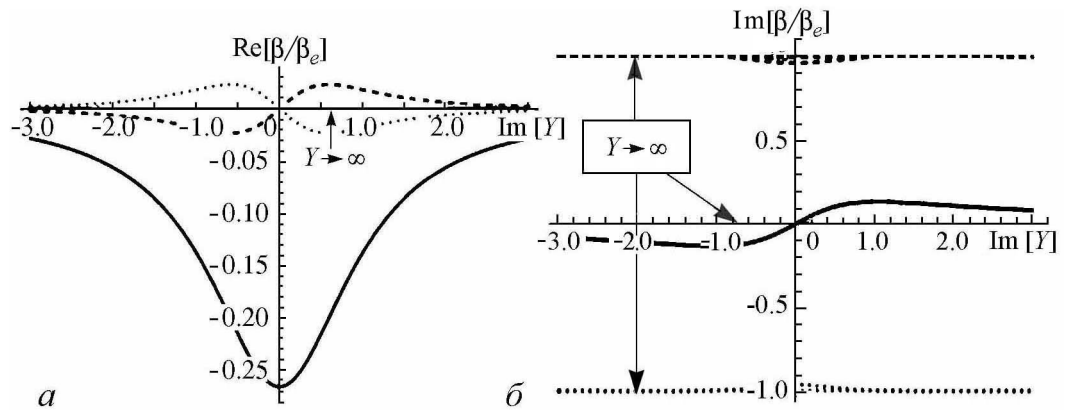


Рис. 3. Зависимость $\text{Re}(\beta/\beta_e)$ (а) и $\text{Im}(\beta/\beta_e)$ (б) от $\text{Im}[Y]$ при $\beta_e d = 2\beta_e y_0 = 2.0$. Сплошными линиями отмечены $\text{Re}[g_y]$ (а), $\text{Im}[g_y]$ (б); пунктирными – $-\text{Im}[\sqrt{MN}]$ (а), $\text{Re}[\sqrt{MN}]$ (б); точками – минус $\text{Im}[\sqrt{MN}]$ (а); минус $\text{Re}[\sqrt{MN}]$ (б)

тически стремится к единице, а g_y – к нулю, причем они слабо зависят от $\text{Re}[Y]$. Рис. 2, б показывает, что изменение значения проводимости будет играть существенную роль, пока поток близок к резистивной плоскости.

Рассмотрим далее случай индуктивной ($\text{Re}[Y] = 0$; $\text{Im}[Y] < 0$) и емкостной ($\text{Re}[Y] = 0$; $\text{Im}[Y] > 0$) проводимостей. В случае комплексной проводимости действительная и мнимая части (5) имеют вид

$$\begin{cases} \text{Re} \frac{\beta}{\beta_e} = 1 + \frac{\Omega_{\text{пл}}^2}{\omega_c \omega} \left(\text{Re}[g_y] \mp \text{Im}[\sqrt{MN}] \right), \\ \text{Im} \frac{\beta}{\beta_e} = 1 + \frac{\Omega_{\text{пл}}^2}{\omega_c \omega} \left(\text{Im}[g_y] \pm \text{Re}[\sqrt{MN}] \right). \end{cases}$$

Нетрудно видеть (рис. 3), что наиболее значимый вклад в $\text{Re}(\beta/\beta_e)$ вносит величина g_y , а в $\text{Im}(\beta/\beta_e)$ – величина \sqrt{MN} . При этом в случае металлических стенок $\text{Re}(\beta/\beta_e)$ достигает нуля, а $\text{Im}(\beta/\beta_e)$ – единицы или минус единицы.

Расчет коэффициентов усиления

Представим возмущения, распространяющиеся в рассматриваемой системе, в виде

$$\begin{cases} \tilde{x} = C_1 e^{-j\beta_1 x} + C_2 e^{-j\beta_2 x}, \\ \tilde{y} = C_3 e^{-j\beta_1 x} + C_4 e^{-j\beta_2 x}. \end{cases}$$

Используем начальные условия

$$\begin{cases} \tilde{x}(0) = \tilde{x}_0, \\ \frac{\partial \tilde{x}(0)}{\partial x} = 0 \end{cases} \quad \text{и} \quad \begin{cases} \tilde{y}(0) = \tilde{y}_0, \\ \frac{\partial \tilde{y}(0)}{\partial x} = 0. \end{cases}$$

Тогда

$$\tilde{x}(x) = \frac{\tilde{x}_0}{\beta_1 - \beta_2} \left(-\beta_2 e^{-j\beta_1 x} + \beta_1 e^{-j\beta_2 x} \right).$$

Формула для $\tilde{y}(x)$ будет выглядеть аналогично.

Полную поверхностную плотность тока будем искать в виде

$$i(x) = I_0 \left(j\theta \tilde{x} e^{j\beta_1 x} + \tilde{y} e^{j\beta_2 x} \right) = I_0 \frac{j\theta \tilde{x}_0 e^{j\beta_1 x} + \tilde{y}_0 e^{j\beta_2 x}}{\beta_1 - \beta_2} \left(-\beta_2 e^{-j\beta_1 x} + \beta_1 e^{-j\beta_2 x} \right),$$

где $\theta = \omega \sigma_0 / I_0$, а I_0 – постоянная компонента поверхностной плотности тока пучка.

Зададим модуляцию тока, считая \tilde{x}_0 и \tilde{y}_0 вещественными. Тогда

$$\theta \tilde{x}_0 = \operatorname{Im} \frac{i(0)}{I_0} = \xi$$

и

$$\tilde{y}_0 = \operatorname{Re} \frac{i(0)}{I_0} = \psi,$$

где ξ и ψ – компоненты безразмерной начальной поверхностной плотности тока.

Коэффициент усиления определяем в виде

$$G = 10 \lg \left| \frac{i(x)}{I_0} \right| = 10 \lg \left| \frac{j\xi e^{j\beta_1 x} + \psi e^{j\beta_2 x}}{\beta_1 - \beta_2} \left(-\beta_2 e^{-j\beta_1 x} + \beta_1 e^{-j\beta_2 x} \right) \right|. \quad (6)$$

Рассмотрим случай резистивной проводимости. На рис. 4 представлены зависимости G от положения пучка и безразмерной длины резистивной секции. Нетрудно видеть, что усиление слабо зависит от значения проводимости и имеет максимум при $y_0 = d/2$. В более общем случае зависимости аналогичны представленным на рис. 4, поэтому приводиться не будут.

Результаты исследования позволяют предположить, что в резистивном усилителе М-типа возможно усиление. Например, при ускоряющем потенциале 1 кВ, частоте сигнала 3 ГГц и проводимости $5 \cdot 10^{-4}$ См при рассматриваемой высоте резистивной секции 2 мм и длине 20 мм усиление в данной модели составляет 22 дБ.

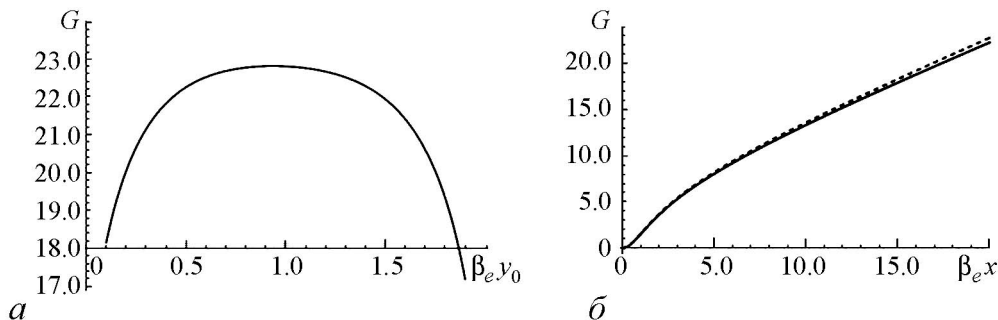


Рис. 4. Зависимость коэффициента усиления от положения пучка при $\beta_e x = 20.0$, $\operatorname{Re}[Y] = 101$ (а) и от безразмерной длины пространства взаимодействия при $\beta_e y_0 = 1.0$ (б). $\beta_e d = 2.0$, $\Omega_{\text{пл}}^2 / \omega_0 = 0.1$, $\xi = \psi = 10^{-3}$, $\operatorname{Re}[Y] = 0.1$ – сплошная линия и $Y \rightarrow \infty$ – пунктир

Случай верхней проводящей плоскости

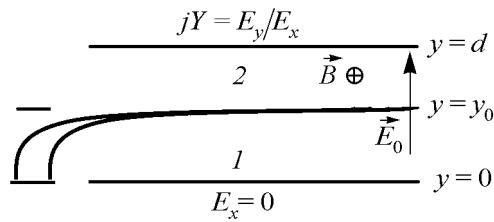


Рис. 5. Вторая рассматриваемая модель

Проводя вывод формул вышеописанным образом, получим дисперсионное уравнение, аналогичное (4)

$$\left(\omega - \beta v_0 + g_y \frac{\Omega_{\text{пл}}^2}{\omega_c}\right)^2 = -\left(\frac{\Omega_{\text{пл}}^2}{\omega_c}\right)^2 MN, \quad (7)$$

в котором

$$g_y = \frac{Y (\text{th} [\beta (d - y_0)] - \text{th} [\beta y_0]) - 1 + \text{th} [\beta y_0] \text{th} [\beta (d - y_0)]}{Y (\text{th} [\beta y_0] + \text{th} [\beta (d - y_0)]) - 1 - \text{th} [\beta y_0] \text{th} [\beta (d - y_0)]},$$

$$MN = 4 \frac{(Y \text{th} [\beta (d - y_0)] - 1) (Y - \text{th} [\beta (d - y_0)]) \text{th} [\beta y_0]}{(Y (\text{th} [\beta y_0] + \text{th} [\beta (d - y_0)]) - 1 - \text{th} [\beta y_0] \text{th} [\beta (d - y_0)])^2}.$$

Рассмотрим корни (7) для случая резистивной проводимости.

Аналогично рис. 2, а, MN на рис. 6, а асимптотически стремится к единице, а g_y – к нулю, причем вблизи $Y = 1 + 0j$ знаменатели в выражениях для MN и g_y обращаются в нуль.

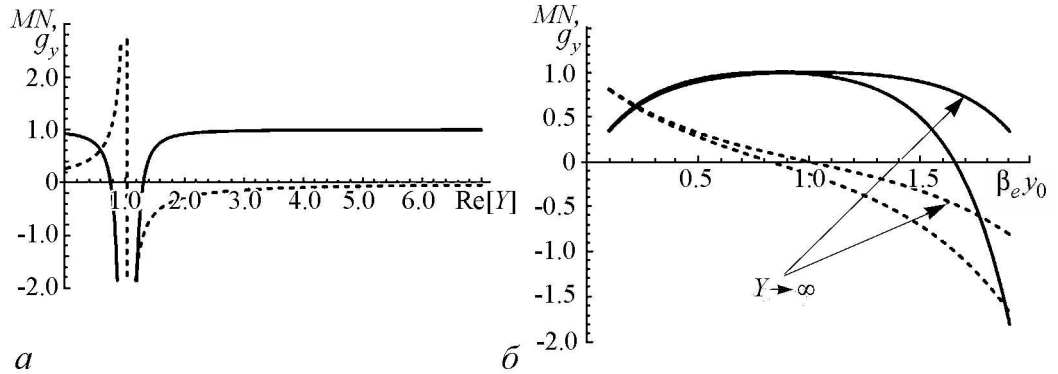


Рис. 6. Зависимость MN (сплошные линии) и g_y (пунктир) от $\text{Re}[Y]$ при $\beta_e d = 2\beta_e y_0 = 2.0$ (а) и от $\beta_e y_0$ при $\beta_e d = 2.0, \text{Re}[Y] = 3.0$ (б)

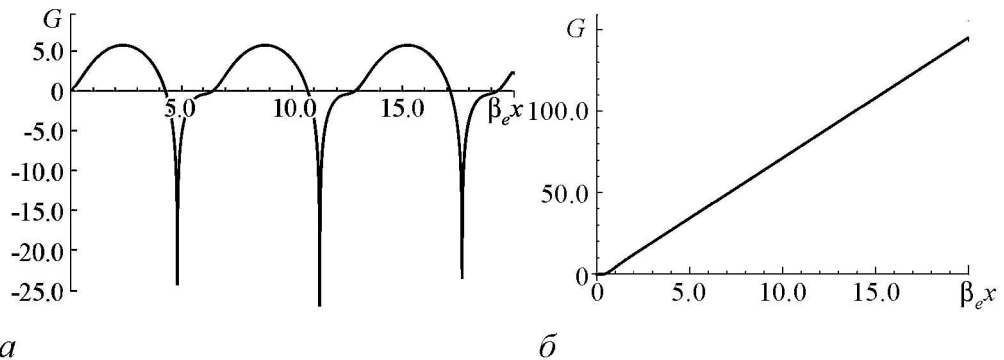


Рис. 7. Зависимость коэффициента усиления от безразмерной длины пространства взаимодействия при $Y = 0.982$ (а); $Y = 1.0535 - 0.015j$ (б). $\beta_e d = 2\beta_e y_0 = 2.0, \Omega_{\text{пл}}^2/\omega_c = 0.1, \xi = \psi = 10^{-3}$

Исследуем коэффициент усиления для этой модели, который будем находить по формуле, аналогичной (6). Вследствие определенной симметричности корней (5) и (7), рассмотрим лишь случаи с различным поведением систем.

Предположим, что в начале пространства взаимодействия вследствие шумовой модуляции $i(x=0) = i_0$, а в конце пространства взаимодействия потребуем, чтобы $i(x=l) = 0$. Тогда условия подавления (рис. 8) примут вид

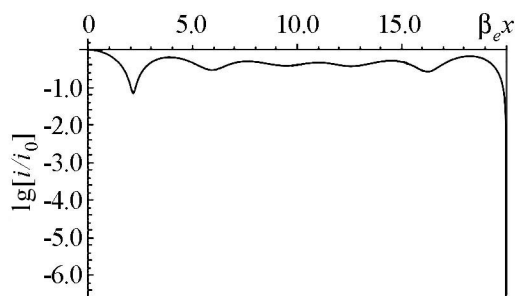


Рис. 8. Зависимость $\lg[i/i_0]$ от безразмерной длины пространства взаимодействия в случае подавления при $\beta_e d = 2\beta_e y_0 = 2.0$, $\Omega_{пл}^2/(\omega_c \omega) = 0.1$, $Y = 1.07 - 0.005j$, $\beta_e l = 20$

$$\begin{cases} j\xi + \psi = i_0, \\ j\xi e^{j\beta_1 l} + \psi e^{j\beta_2 l} = 0 \end{cases} \Rightarrow \begin{cases} \xi = \frac{-ji_0}{1 - e^{j(\beta_1 - \beta_2)l}}, \\ \psi = \frac{-i_0 e^{j(\beta_1 - \beta_2)l}}{1 - e^{j(\beta_1 - \beta_2)l}}. \end{cases}$$

В заключение данной работы можно сказать, что в резистивном устройстве М-типа можно наблюдать высокие коэффициенты усиления, периодичность усиления по длине и подавление.

Библиографический список

1. Birdsall C.K., Brewer G.R., Haeff A.V. The resistive-wall amplifier // Proceedings of the I.R.E. 1953. 41. P. 865.
2. Birdsall C.K., Whinnery J.R. Waves in an electron stream with general admittance walls // Journal of Applied Physics. 1953. Vol. 24, № 3.
3. Варнеке Р. Эволюция принципов действия современных электровакуумных приборов для СВЧ // Сборник статей «Миллиметровые и субмиллиметровые волны» / Под ред. Р.Г. Мириманова. М.: Издательство иностранной литературы, 1959.
4. Шевчик В.Н., Трубецков Д.И. Аналитические методы расчета в электронике СВЧ. М.: «Советское радио», 1970.

References

1. Birdsall C.K., Brewer G.R., Haeff A.V. The resistive-wall amplifier // Proceedings of the I.R.E. 1953. Vol. 41. P. 865.
2. Birdsall C.K., Whinnery J.R. Waves in an electron stream with general admittance walls // Journal of Applied Physics. 1953. Vol. 24, № 3.
3. Warnecke R. Convegno di elettronica etelevisione, Milano, 2, 706, 1954.
4. Shevchik V.N., Trubetskov D.I. Analytic methods of calculation in microwave electronic. M.: «Soviet radio», 1970. (In Russian).

Поступила в редакцию 3.07. 2015

SOME QUESTIONS OF THE THEORY OF RESISTIVE WALL AMPLIFIER M-TYPE

O. A. Kildyakova, A. A. Funtov

Saratov State University

Results of researching linear theory of two models of resistive wall amplifier M-type are presented.

Keywords: Resistive wall amplifier, M-type, linear theory.



Кильдякова Оксана Александровна – родилась в г. Хвалынске Саратовской области (1993). Окончила общеобразовательную школу с серебряной медалью (2010), СГУ им. Н.Г. Чернышевского с красным дипломом (2015). Область научных интересов – теория турбулентности, теория СВЧ-приборов.

10012 Саратов, Астраханская, 83
Саратовский государственный университет им. Н.Г. Чернышевского
E-mail: oksanakildyakova@yandex.ru.



Фунтов Александр Андреевич – родился в г. Балаково Саратовской области (1992). Окончил Саратовский государственный университет (2014). В настоящее время – аспирант кафедры электроники, колебаний и волн. Автор 5 научных публикаций. Область научных интересов – вакуумная СВЧ-электроника.

10012 Саратов, Астраханская, 83
Саратовский государственный университет им. Н.Г. Чернышевского
E-mail: aafuntov@mail.ru